

스퍼터링 및 후 열처리 조건변화에 따른 SBN 강유전체 박막의 배향성에 관한 연구

이채종, 이희영

영남대학교 재료금속공학부

Effect of Sputtering and Post-Annealing Condition on The Orientation of SBN Thin Films

Chae-Jong Lee, Hee Young Lee,

School of Science and Materials Engineering, Yeungnam University

Abstract : SBN60 and SBN60/30 thin films were deposited by ion beam sputtering technique. Using the ceramic target of the same composition and Pt(100)/TiO₂/SiO₂/Si or Pt(111)/Ti/SiO₂/Si substrate, crystallization and orientation behavior as well as electric properties of the films were examined. Thickness was controlled to 3000 Å and the films were heat-treated at 650°C ~ 800°C. The orientation and crystallization behavior were observed which showed the dependence on processing condition(O₂/Ar ratio, substrate temp, annealing temp...).

Key Words : SBN, ion beam sputtering (IBS), ferroelectric properties, tetragonal tungsten bronze

1. 서 론

$\text{Sr}_x\text{Ba}_{1-x}\text{Nb}_2\text{O}_6$ (0.25≤ x ≤0.75)(이하 SBN)은 우수한 electro-optic, photorefractive, poezoelectric, pyroelectric 특성을 가진 것으로 알려져 있고, 지금까지 sol-gel, PLD, CVD, RF sputtering^(주1), CSD(Spin-coating)^(주2)등의 방법으로 SBN 박막을 제조한 연구가 이루어져 왔다.

특히, C-축 배향된 tungsten bronze 형 SBN thin film은 pyroelectric, photorefractive 그리고 electro-optic application에 이용 가능하므로^{(주3)(주4)}, 본 연구에서는 기존의 Pb계 perovskite 강유전체를 대체할 수 있는 SBN 박막을 Ion Beam Sputtering을 이용하여 제조하였으며, 박막 증착변수와 열처리조건을 변화시켜 배향도를 조절하고 이에 따른 전기적 특성을 측정, 분석하고자 하였다.

2. 실 험

본 연구에서는 이온빔 스퍼터를 사용하여 산화성 분위기에 서 SBN60 박막을 증착하였으며, 사용한 이온소스는 Cold Hollow Cathode type source를 사용하였다. Cold Hollow Cathode type source의 경우 filament cathode 와는 달리 non-filament type으로 inert, O₂, N₂ 등 다양한 Operating gas를 사용할 수 있다는 장점을 가지고 있다.

증착용 타겟은 세라믹 분말을 이용하여 일반적인 세라믹 공정법을 통해 산화물 타겟을 제조하였다. 증착될 박막의 조성과 동일한 $\text{Sr}_{0.6}\text{Ba}_{0.4}\text{Nb}_2\text{O}_6$ (이하 SBN60) 또는 $\text{Sr}_{0.3}\text{Ba}_{0.7}\text{Nb}_2\text{O}_6$ (SBN30) 산화물 타겟을 사용하였으며, 기판

으로는 Pt(100)/TiO₂/SiO₂/Si(100) 웨이퍼(Pt 두께 200nm) 또는 Pt(111)/Ti/SiO₂/Si를 사용하였다.

Ar ion beam을 이용하여 Table 1. 과 같은 조건으로 SBN 박막을 증착하였으며 0.3μm 두께의 박막을 얻었다.

증착 시 기판을 400°C로 가열하였으며, 증착 후 Direct Insert법을 이용하여 650°C ~ 800°C 까지 30분간 열처리를 실시하였다

제조된 박막의 결정성은 XRD를 사용하여 관찰하였다. P-E hysteresis는 Sawyer-Tower회로(Model: RT66A, Radiant)장비를 이용하여 측정하였다.

표 1. 이온빔 스퍼터링 증착 조건

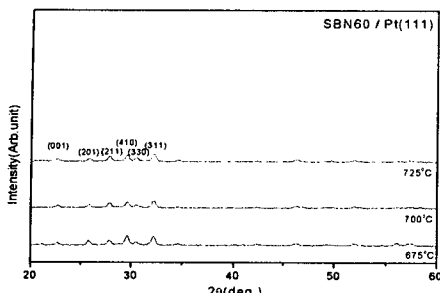
Target	$\text{Sr}_{0.6}\text{Ba}_{0.4}\text{Nb}_2\text{O}_6$ (SBN60) $\text{Sr}_{0.3}\text{Ba}_{0.7}\text{Nb}_2\text{O}_6$ (SBN30)
Base pressure	1.0×10^{-6} torr
Working pressure	5.0×10^{-4} torr
Discharge power	400V, 0.4A
Beam power	1kV, 40mA
Deposition Temperature	400°C

3. 결과 및 고찰

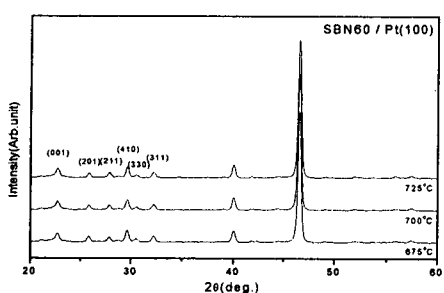
3.1 기판에 따른 결정성 분석

(a) Pt(111)보다 (b) Pt(100)가 같은 온도에서 결정성이 좋

은 결과가 나왔다. 이는 Pt기판과 SBN박막간의 격자부정합에 기인한다고 본다.



(a)



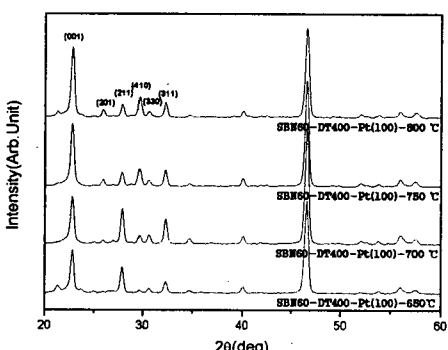
(b)

Fig 1. 기판에 따른 SBN60박막의 XRD Pattern

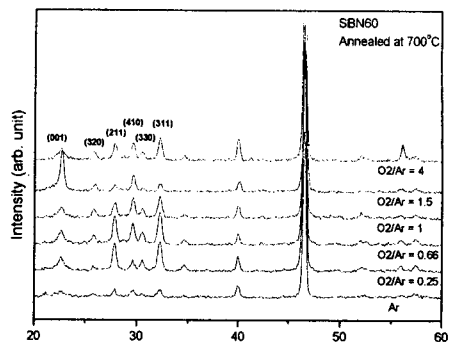
3.2 열처리온도와 산소분압에 의한 우선배향

(a)그래프에서 보는 바와 같이 열처리 온도를 높일수록 C-축 배향도는 증가한다. 하지만 SBN 박막의 경우, 800도 이상의 열처리온도에선 Pt에 의한 electro-migration이나 칠락현상에 의한 막의 adhesion강소로 인해 전기적 특성을 저해하는 요소가 될 수 있다.

(b)의 XRD 패턴은 모든 조건이 같고 산소분압만을 변수로 주었을때, 아르곤 대 산소의 비율(O_2/Ar) 0이 1.5/1일 경우에 (001)배향이 가장 잘 일어난 것을 알 수 있다.



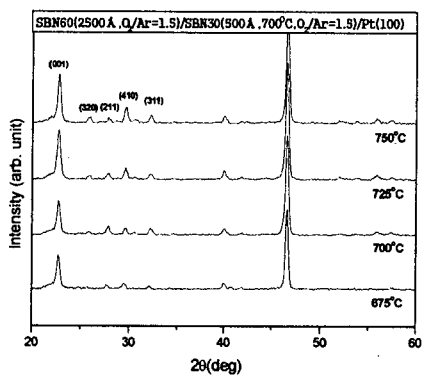
(a)



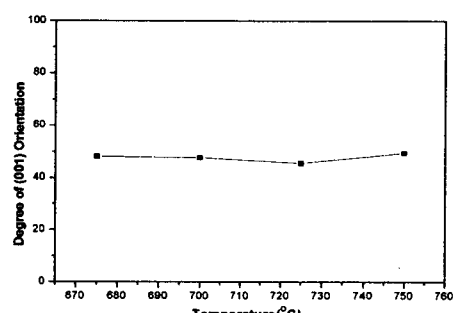
(b)

Fig 2. 같은 증착조건에서 열처리온도와 산소분압의 변수를 주어 제조한 SBN60의 XRD Pattern

3.3 Seed layer에 의한 영향



(a)



(b)

Fig 3. (a) SBN30을 Seed layer로 사용하고 산소분압 1.5로 조절하여 여러 열처리 온도로 증착한 SBN60박막의 XRD Pattern. (b) 열처리 온도에 따른 SBN60/30의 배향도.

앞서 밝힌 각각의 조건을 바탕으로 (001)방향으로 우선 배향한 박막의 XRD Pattern과 이 박막의 배향도를 Fig.3에 나타내었다. 열처리 온도 750°C에서 가장 배향도가 높게 나타났다.

3.4 강유전 특성

Fig 4에서는 Pt/SBN60/SBN30/Pt/TiO₂/SiO₂/Si 박막 커판 시터의 인가된 전압에 따른 P-E hysteresis loop를 나타내고 있다. 잔류분극 (2Pr)값은 약 4uC/cm², 흥전계(Ec)값은 약 39.5kV/cm로 측정되었다.

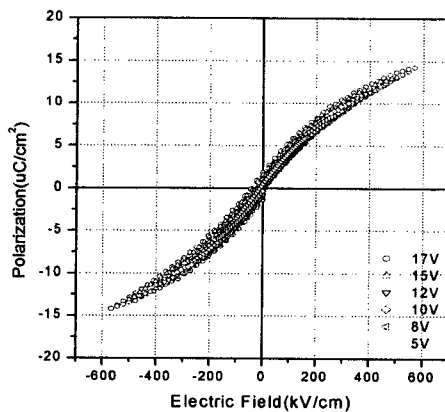


Fig 4. SBN60/30 Thin film의 P-E Hysteresis behavior

4. 결론

우선배향에 가장 영향을 줄 수 있는 요인으로 기판, 열처리온도, 산소분압, 그리고 격자부정합 계산에 따른 적절한 Seed layer를 조절하였으며 이를 통해 비교적 우수한 (001) 우선 배향된 SBN박막을 얻을 수 있었다.

좋은 특성의 SBN60박막 제조 조건은 Pt(100)기판에 SBN30을 Seed로 사용하고 O₂/Ar의 비가 1.5/1 일때, 그리고 열처리 온도는 750°C으로 제조했을 때 관찰되었다.

참고 문헌

- [1] Min Ki Ryu, Sang Hern Lee, Heung Jin Joo, Jong Pil Kim, and Min Su Jang, "Electric Defect Characteristics Of Ferroelectric Sr_{0.25}Ba_{0.75}Nb₂O₆ Thin Films", Ferroelectrics, 260, 99-104 (2001)
- [2] Keishi Nishio, Nobuhiro Seki, Jirawat Thongrueng, Yuichi Watanabe And Toshio Tsuchiya, "Preparation and Properties of Highly Oriented Sr_{0.3}Ba_{0.7}Nb₂O₆ Thin Films by a Sol-Gel Process" Journal of Sol-Gel Science and Technology, 16, 37-45 (1999).
- [3] Wataru Sakamoto, Toshinobu Yogo, Ko-ji Ogiso, Akihiro Kawase, and Shin-ichi Hirano, "Synthesis of Strontium Barium Niobate Thin Films thought Metal Alkoxide", J. Am. Ceram.Soc.,79(9) 2283-88 (1996).
- [4] X L Guo, Z G Liu, X Y Chen, S N Zhu, S B Xiong, W S Hu and C Y Lin, "Plused laser deposition of Sr_xBa_{1-x}Nb₂O₆/MgO bilayered films on Si wafer in waveguide form", J. Phys. D:Appl. Phys., 29, 1632-1635 (1996).